

通信原理

武汉大学电子信息学院 吴静



课程内容

第1章 绪论
第2章 确知信号
第3章 随机过程
第4章 信道
第5章 模拟调制系统
第6章 数字基带传输系统
第7章 数字带通传输系统

第8章 新型数字带通调制技术
第9章 模拟信号的数字传输
第10章 信源编码
第11章 差错控制编码
第12章 正交编码与伪随机序列
第13章 同步原理



第1章 绪论

1.重点内容

- (1) 通信系统的组成模型及各部分的作用**
- (2) 通信系统的主要性能指标**
- (3) 信息量的基本概念**



第3章 随机过程

1. 重点内容

- (1) 时域和频域的描述参数
- (2) 平稳、高斯、窄带过程的统计特性
- (3) 正弦波加窄带高斯过程的统计特性

维纳—辛钦定理



第4章 信道

1. 重点内容

- (1) 信道容量的概念
- (2) 多径效应的幅频特性



第5章 模拟调制系统

1、重点内容

- (1) 线性调制的基本原理（4种方法的对比以及适用性）**
- (2) 非线性调制原理及抗噪声性能
调频的主要参数**
- (3) 宽带调频
阿姆斯特朗法**

1 单音调频 FM

最大角频偏 $\Delta\omega$

设 $m(t) = A_m \cos \omega_m t$, 则 $\frac{d\varphi(t)}{dt} = K_f A_m \cos \omega_m t$

$$\varphi(t) = K_f A_m \int \cos \omega_m t dt = \frac{K_f A_m}{\omega_m} \sin \omega_m t = m_f \sin \omega_m t$$

单音调频信号:

$$s_{\text{FM}}(t) = A \cos[\omega_c t + m_f \sin \omega_m t]$$

$$m_f = \frac{K_f A_m}{\omega_m} = \frac{\Delta\omega}{\omega_m} = \frac{\Delta f}{f_m}$$

最大相位偏移

——调频指数

$$\Delta f = m_f f_m = \frac{\Delta\omega}{2\pi} \quad \Delta\omega = K_f A_m \quad \omega_m = 2\pi f_m$$

第6章 数字基带传输系统

1. 重点内容

(1) 基带信号功率谱密度 $P_s(f)$

由于 $s(t) = u(t) + v(t)$, 所以将下两式相加:

$$P_v(f) = \sum_{m=-\infty}^{\infty} |f_s [PG_1(mf_s) + (1-P)G_2(mf_s)]|^2 \delta(f - mf_s)$$

$$P_u(f) = f_s P(1-P) |G_1(f) - G_2(f)|^2$$

即可得到随机序列 $s(t)$ 的功率谱密度, 即

$$\begin{aligned} P_s(f) &= P_u(f) + P_v(f) = f_s P(1-P) |G_1(f) - G_2(f)|^2 \\ &\quad + \sum_{m=-\infty}^{\infty} |f_s [PG_1(mf_s) + (1-P)G_2(mf_s)]|^2 \delta(f - mf_s) \end{aligned}$$

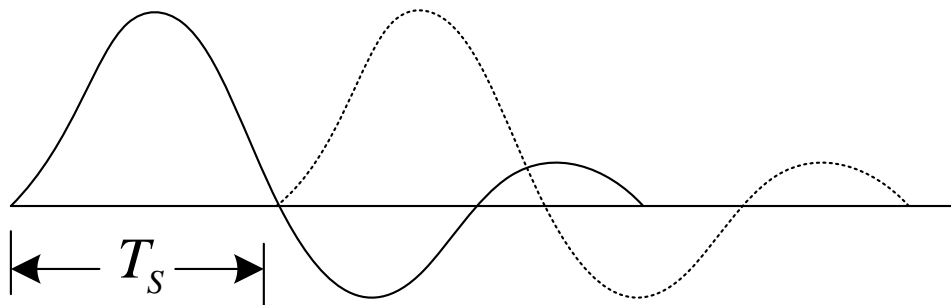
上式为双边的功率谱密度表示式。如果写成单边的, 则有

$$\begin{aligned} P_s(f) &= f_s P(1-P) |G_1(f) - G_2(f)|^2 + f_s^2 |PG_1(0) + (1-P)G_2(0)|^2 \delta(f) \\ &\quad + 2f_s^2 \sum_{m=1}^{\infty} |PG_1(mf_s) + (1-P)G_2(mf_s)|^2 \delta(f - mf_s), \quad f \geq 0 \end{aligned}$$

第6章 数字基带传输系统

(2) 码间串扰

- 两种误码原因：
 - 码间串扰
 - 信道加性噪声
- 码间串扰原因：系统传输总特性不理想，导致前后码元的波形畸变并使前面波形出现很长的拖尾，从而对当前码元的判决造成干扰。
- 码间串扰严重时，会造成错误判决，如下图所示：



第6章 数字基带传输系统

■ 无码间串扰的条件

◆ 时域条件

如上所述，只要基带传输系统的冲激响应波形 $h(t)$ 仅在本码元的抽样时刻上有最大值，并在其他码元的抽样时刻上均为0，则可消除码间串扰。也就是说，若对 $h(t)$ 在时刻 $t = kT_s$ （这里假设信道和接收滤波器所造成的延迟 $t_0 = 0$ ）抽样，则应有下式成立

$$h(kT_s) = \begin{cases} 1, & k = 0 \\ 0, & k \text{ 为其他整数} \end{cases}$$

上式称为**无码间串扰的时域条件**。

也就是说，若 $h(t)$ 的抽样值除了在 $t = 0$ 时不为零外，在其他所有抽样点上均为零，就不存在码间串扰。



第6章 数字基带传输系统

在无码间串扰时域条件的要求下，我们得到无码间串扰时的基带传输特性应满足

$$\frac{1}{T_s} \sum_i H(\omega + \frac{2\pi i}{T_s}) = 1 \quad |\omega| \leq \frac{\pi}{T_s}$$

或写成

$$\sum_i H(\omega + \frac{2\pi i}{T_s}) = T_s \quad |\omega| \leq \frac{\pi}{T_s}$$

上条件称为**奈奎斯特(Nyquist)第一准则**。

基带系统的总特性 $H(\omega)$ 凡是能符合此要求的，均能消除码间串扰。



第6章 数字基带传输系统

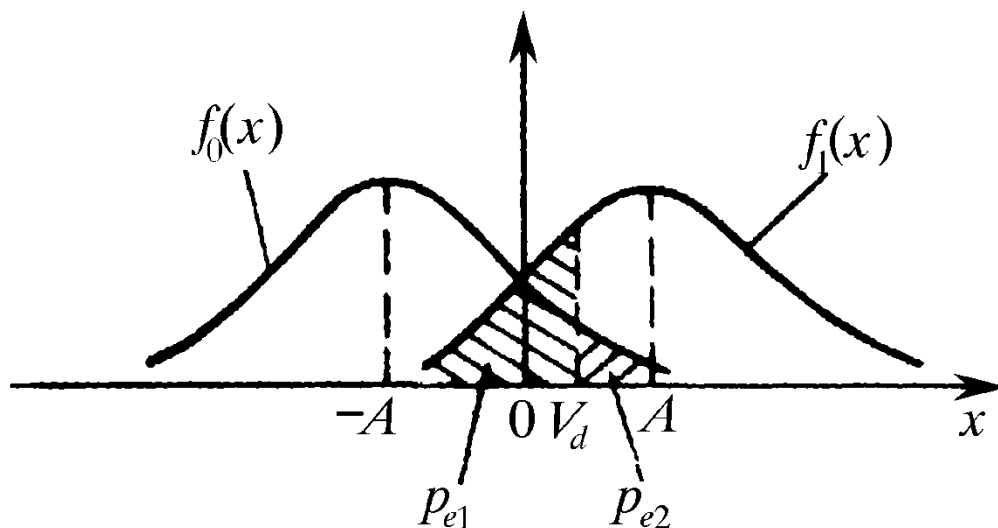
◆ 频域条件的物理意义

- 将 $H(\omega)$ 在 ω 轴上以 $2\pi/T_s$ 为间隔切开, 然后分段沿 ω 轴平移到 $(-\pi/T_s, \pi/T_s)$ 区间内, 将它们进行叠加, 其结果应当为一常数 (不必一定是 T_s) 。
- 这一过程可以归述为: 一个实际的 $H(\omega)$ 特性若能等效成一个理想 (矩形) 低通滤波器, 则可实现无码间串扰。

第6章 数字基带传输系统

(3) 基带传输系统的抗噪声性能

■ 二进制双极性基带系统



$$V_d^* = \frac{\sigma_n^2}{2A} \ln \frac{P(0)}{P(1)}$$

$$P_e = \frac{1}{2} \operatorname{erfc} \left(\frac{A}{\sqrt{2}\sigma_n} \right)$$



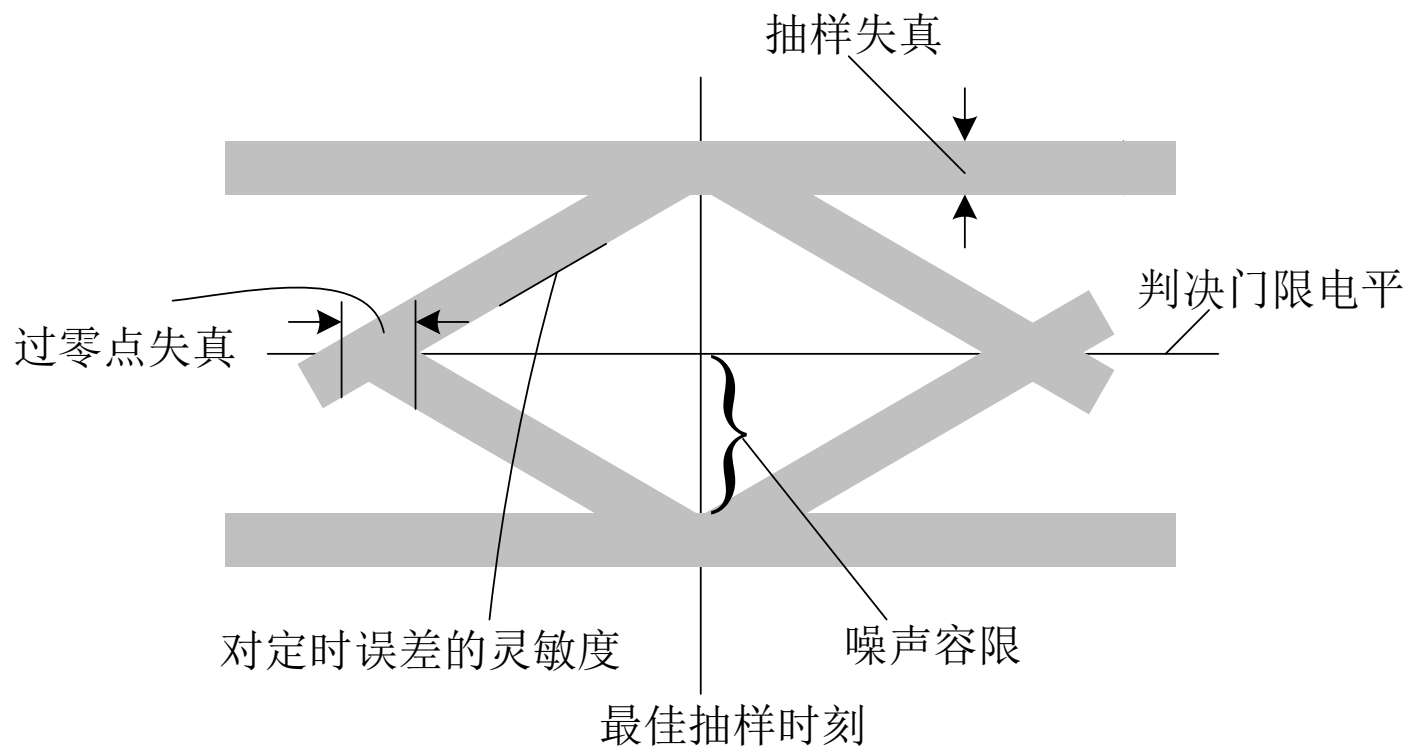
第6章 数字基带传输系统

- 二进制单极性基带系统

$$V_d^* = \frac{A}{2} + \frac{\sigma_n^2}{A} \ln \frac{P(0)}{P(1)}$$

$$P_e = \frac{1}{2} \operatorname{erfc} \left(\frac{A}{2\sqrt{2}\sigma_n} \right)$$

(4) 眼图





(5) AMI和HDB3编码

HDB3编码容易出错的地方